

УДЕРЖАНИЕ ТОРОИДАЛЬНО ЗАПЕРТЫХ ЧАСТИЦ ВЫСОКИХ ЭНЕРГИЙ В ГОФРИРОВАННОМ МАГНИТНОМ ПОЛЕ

П.Н.Юшманов

Показано, что совместное действие кулоновских столкновений и динамической стохастизации траекторий приводит к существенным потерям банановых частиц с энергией ~ 100 кэВ. Это ограничивает допустимую величину гофрировки при инжекции значением $\delta \sim 0.3\%$.

Для нагрева плазмы в токамаках следующего поколения предполагается использовать инжекцию пучков нейтральных атомов под углами $70 - 80^\circ$ к основному магнитному полю¹. После ионизации эти частицы захватываются на банановые траектории и образуют горячую компоненту с энергией 100 – 200 кэВ. Эффективность нагрева плазмы пучком будет определяться эффективностью удержания этих ионов, которая, в свою очередь, во многом определяется гофрировкой тороидального магнитного поля.

Анализ потерь ионов, основанный на бананово-дрейфовом кинетическом уравнении², предсказывает в области энергий $w \sim 30$ кэВ стабилизацию гофрировочного коэффициента диффузии, который при меньших энергиях рос $\sim w^{3/2}$ ³. При $w > 30$ кэВ гофрировочные потери горячих банановых частиц даже уменьшались, что приводило к весьма оптимистичным оценкам максимально допустимой гофрировки магнитного поля $\delta = (B_{max} - B_{min})/(B_{max} + B_{min}) \sim 1\%$. Известно, однако, что если энергия ионов достигает $10^6 - 10^7$ эВ, то их перенос снова возрастает из-за динамической стохастизации траекторий, достигая величины рипп-плато диффузии $D^{RP} \sim \rho_\theta^2 N \delta^2 v / R \epsilon^{1/2}$ ⁴, где $\rho_\theta = vq/\epsilon\omega_B$ – лармировский радиус по полю тока, N – число катушек продольного поля, R – большой радиус тора, $\epsilon = r/R$, q – коэффициент запаса устойчивости.

Чтобы устранить указанное рассогласование и правильно определить потери частиц с энергией $\gtrsim 10^5$ эВ необходимо, во-первых, пересмотреть бананово-дрейфовый перенос, поскольку при таких энергиях за время одного оборота по банановой траектории $\tau_b \sim qR/v\epsilon^{1/2}$ орбита частицы прецессирует на расстояние $\sim \tau_b U_{TOR}$ ($U_{TOR} \sim v^2 q / R \omega_B \epsilon$ – скорость тороидальной прецессии) большее расстояния между катушками, поэтому само бананово-дрейфовое кинетическое уравнение становится неприменимым, во-вторых, в рассмотрение необходимо включить эффекты, приводящие к динамической стохастизации траекторий.

Определим сначала потери банановых частиц высоких энергий без учета эффекта динамической стохастизации. Гофрировка тороидального поля возмущает банановую траекторию, причем особенно эффективно вблизи точек $v_{||} = 0$. В результате вершина банановой траектории смещается за один оборот на расстояние

$$d \sim \frac{v\delta N^{1/2}}{\omega_B} \left(\frac{q}{\epsilon} \right)^{3/2} (\cos N\phi^{(1)} + \cos N\phi^{(2)}), \quad (1)$$

где $\phi^{(1)}$ и $\phi^{(2)}$ – тороидальные углы в точках отражения ³. На следующем обороте из-за прецессии орбиты фазы смещения $N\phi$ получают приращения $\beta = N\tau_b U_{\text{TOR}}/R$. Поэтому радиальное смещение банановой орбиты за несколько оборотов составляет $\Delta r_\beta = \Sigma d = d/\sin\beta$.

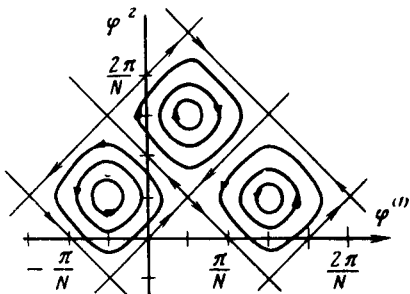


Рис. 1. Траектории решений уравнений (5) на фазовой плоскости

Рис. 2. Зависимость коэффициента диффузии D от энергии w . Пунктирные прямые соответствуют рипп-плато диффузии $D^{RP} \sim \delta^2 w^{3/2}$

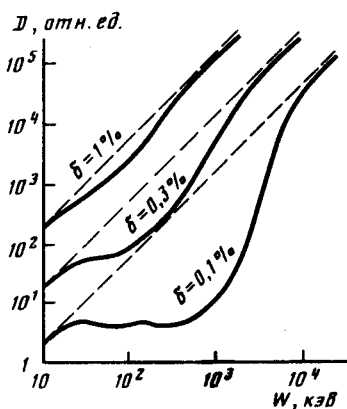


Рис. 2

Для большинства частиц $\Delta r_\beta \sim d$, и только резонансные частицы ($\beta = k\pi$) смещаются на большое расстояние. Есть, однако, два фактора, ограничивающих эту величину. Первый – кулоновские столкновения. Из-за них частицы не могут отразиться сфазированно более чем τ_c/τ_b раз ($\tau_c \sim \epsilon/N^2 q^2 v$ – время столкновительного рассеяния $N\phi$ на $\pi/2$) и, соответственно, сместиться более чем на $\Delta r_c \sim d\tau_c/\tau_b$. Второй фактор, ограничивающий смещение частиц, – зависимость параметров траектории от радиуса. Наиболее существенной является зависимость от радиуса тороидального угла, описываемого частицей при движении по банановой траектории, $\phi_{\text{TOR}} = \phi^{(1)} - \phi^{(2)}$. Если из-за смещения по радиусу $\Delta\phi_{\text{TOR}}$ достигнет π/N , то d обратится в ноль или даже сменит знак, поэтому Δr ограничивается величиной $\Delta r_T \sim (Nd\phi_{\text{TOR}}/dr)^{-1}$. Из трех полученных смещений Δr_β , Δr_c и Δr_T в коэффициент диффузии $D \sim \Delta r^2/\tau_{eff}$ войдет минимальное $\Delta r^2 = (\Delta r_\beta^{-2} + \Delta r_c^{-2} + \Delta r_T^{-2})^{-1}$. Считая, что стохастизация фазы $N\phi$ обусловлена только кулоновскими столкновениями, получаем

$$D \sim d^2 [\sin^2 \beta \cdot (\tau_B/\tau_c)^2 + (dNd\phi_{\text{TOR}}/dr)^2]^{-1}/\tau_c. \quad (2)$$

При низких энергиях, пока $\beta \ll 1$, коэффициент диффузии (2) переходит в коэффициент, рассчитанный из бананово-дрейфового кинетического уравнения ². При энергиях, соответствующих $\beta \gtrsim 1$, зависимость $D(w)$ представляет собой кривую с резкими максимумами ($\Delta w/w \sim \delta \sqrt{Nq}/\epsilon$) вблизи резонансных областей

$$\beta \equiv \frac{4N\sqrt{w}q^2}{\sqrt{m}R\omega_B\epsilon^{3/2}} \left[E - \frac{K}{2} + 2\frac{r}{q} \frac{dq}{dr} \left(E - \cos^2 \frac{\theta_0}{2} K \right) \right] = n\pi, \quad (3)$$

где $E = E(\sin\theta_0/2)$, $K = K(\sin\theta_0/2)$ – эллиптические интегралы, θ_0 – полоидальный угол в точке отражения.

Коэффициент диффузии (2) не переходит, однако, в $D^{RP} \sim d^2/\tau_b$ при высоких энергиях. Для описания переходной области необходимо совместно учесть эффекты кулоновской и динамической стохастизации. Это можно сделать, введя случайный сбой тороидального угла в уравнения, описывающие связь r , ϕ координат последовательных точек отражения

$$r_{n+1}^{(1)} = r_n^{(2)} + d \cos(N\phi_n^{(1)}),$$

$$\phi_{n+1}^{(2)} = \phi_n^{(1)} + \phi_{\text{TOR}}(r_{n+1}^{(1)}) + \Delta\phi_c + \beta/2,$$

$$r_{n+1}^{(2)} = r_{n+1}^{(1)} - d \cos(N\phi_{n+1}^{(2)}),$$

$$\phi_{n+1}^{(1)} = \phi_{n+1}^{(2)} - \phi_{\text{TOR}}(r_{n+1}^{(2)}) + \Delta\phi_c + \beta/2,$$

где $\Delta\phi_c$ – случайная величина с характерным разбросом $\sim (\tau_b/N^2\tau_c)^{1/2} \sim (\nu R q^3/\nu e^{3/2})^{1/2}$, описывающая изменение за счет кулоновских столкновений.

Для того, чтобы проанализировать поведение решений уравнений (4), рассмотрим сначала случай $\Delta\phi_c = 0$, $\beta = 0$. При $w \ll w_{st} \sim mR^2\omega_B^2\epsilon^5/q^5\delta^2N^3$, когда $Nd\phi_{\text{TOR}}/dr \ll 1$ решение разностных уравнений совпадает с решением дифференциальных уравнений

$$\begin{aligned} \frac{d\phi^{(1)}}{dt} &= d \frac{d\phi_{\text{TOR}}}{dr} \cos(N\phi^{(2)}), \\ \frac{d\phi^{(2)}}{dt} &= d \frac{d\phi_{\text{TOR}}}{dr} \cos(N\phi^{(1)}), \end{aligned} \quad (5)$$

представляющим собой семейство замкнутых траекторий, разделенных сепаратрисами (рис. 1). Динамическая стохастизация реализуется, если за счет конечного шага (при $Nd\phi_{\text{TOR}}/dr \gtrsim 1$) происходит перескок из одной фазовой ячейки в другую. Угол $N\phi$ случаен при этом в каждом отражении, следовательно коэффициент диффузии $D \sim d^2/\tau_b$. Диффузия, описываемая формулой (2), соответствует плавному переходу с одной траектории на другую за счет кулоновских столкновений. Помимо плавного перехода столкновения могут также приводить к переходу через сепаратрису и давать дополнительный вклад в перенос.

Все эти эффекты учитываются при численном анализе расширения пучка траекторий уравнений (4). На рис. 2 представлены зависимости коэффициента диффузии банановых частиц от энергии, полученные этим методом. В качестве параметров в расчетах использовались их значения для установки ИНТОР¹: $n = 10^{14} \text{ см}^{-3}$, $N = 12$, $R = 5,3 \text{ м}$, $r = 0,7 \text{ м}$, $q = 1,2$, $B = 5,5 \text{ Т}$, $Nd\phi_{\text{TOR}}/dr = 0,7 \text{ см}^{-1}$. Переход к другим значениям $Nd\phi_{\text{TOR}}/dr$ осуществляется переходом к другим δ при сохранении величины $dNd\phi_{\text{TOR}}/dr$. Поскольку пучок траекторий задавался с довольно большим разбросом по β , пики, которые должны были проявиться при $w \ll w_{st}$, оказались сильно сглаженными. С увеличением энергии до $w \sim w_{st}$ D быстро переходит в $D^{RP} \approx d^2/\tau_b \sim \delta^2 w^{3/2}$. Причем переход происходит тем раньше, чем больше δ , поскольку $w_{st} \sim \delta^{-2}$. При $\delta = 1\%$ рипл-плато перенос охватывает практически весь энергетический диапазон. Потери частиц пучка с $w \sim 100 \text{ кэВ}$ в этом случае в $N\delta^2 v/\sqrt{\epsilon} R \nu \sim 10^3$ раз больше неоклассических и становятся сравнимыми с νr^2 . Такой перенос может привести к уходу горячих ионов раньше, чем они успеют передать энергию плазме. Поэтому на стадии инжекции пучка вряд ли можно допускать гофрировку выше 0,3%.

Литература

1. INTOR group. Nuclear Fusion, 1980, **20**, 349.
2. Юшманов П.Н. ДАН СССР, 1982, **262**, 606.
3. Boozer A.H. Physics of Fluids, 1980, **23**, 2283.
4. Goldston R.J., White R.B., Boozer A.H. Phys. Rev. Lett., 1981, **47**, 647.